

Systematische Zusammenstellung natürlicher Einheiten mit Energie als Grundeinheit

Johann Pascher

11. April 2025

Zusammenfassung

Diese Arbeit präsentiert eine umfassende systematische Zusammenstellung natürlicher Einheiten im Rahmen des T0-Modells der Zeit-Masse-Dualität. Mit Energie als Grundeinheit wird eine hierarchische Struktur physikalischer Konstanten entwickelt, wobei alle fundamentalen Konstanten ($\hbar = c = G = k_B = \alpha_{\text{EM}} = \alpha_W = \beta_T = 1$) auf 1 gesetzt werden. Die abgeleiteten Konstanten und Skalen werden in einem kohärenten Rahmen präsentiert, der Quanten- und relativistische Phänomene vereinheitlicht. Besondere Aufmerksamkeit wird der Hierarchie von Längenskalen vom sub-Planck-Bereich bis hin zu kosmologischen Regimen sowie den Beziehungen zwischen elektromagnetischen, thermodynamischen und quantenmechanischen Konstanten gewidmet, die alle aus der fundamentalen Energieskala abgeleitet werden.

Inhaltsverzeichnis

1	Einleitung	3
2	Hierarchie natürlicher Einheiten	3
2.1	Drei-Ebenen-Hierarchie der Konstanten	3
2.2	Fundamentale Konzepte des T0-Modells	4
2.3	Fundamentale Konstanten mit Wert 1	4
2.4	Abgeleitete elektromagnetische Konstanten	4
2.5	Weitere abgeleitete Konstanten mit Wert 1	5
2.6	Ableitung von $\beta_T = 1$	6
2.7	Ableitung von $\alpha_{\text{EM}} = 1$	7
2.8	Fundamentale Längenskalen in natürlichen Einheiten	8
3	Charakteristische Längenskalen in natürlichen Einheiten	9
3.1	Abgeleitete Verhältnisse der Längenskalen	9
3.2	Verbindung zu Higgs-Parametern	9
4	Quantisierung der Längenskalen: Eine fundamentale Entdeckung	10
4.1	Mathematische Formulierung der Längenquantisierung	10
4.2	Verbotene Zonen und Stabilitätszentren	11
4.3	Theoretische Grundlage im T0-Modell	11
4.4	Empirische Bestätigung und Vorhersagen	12
4.5	Philosophische und konzeptionelle Bedeutung	12
4.6	Testbare Vorhersagen des Modells	13
4.7	Zusammenfassung der Längenquantisierung	13

5	Umrechnung zwischen natürlichen und SI-Einheiten	13
5.1	Planck-Einheiten und ihre Werte	13
5.2	Umrechnungsformeln zwischen natürlichen und SI-Einheiten	14
5.3	Umrechnung dimensionsloser Parameter	14
5.3.1	Praktische Verwendung dimensionsloser Parameter	14
6	Feldgleichungen in natürlichen Einheiten	15
6.1	Maxwell-Gleichungen ($\alpha_{\text{EM}} = 1$)	15
6.2	Gleichungen des T0-Modells ($\beta_{\text{T}} = 1$)	15
6.3	Modifizierte Quantenmechanik	16
7	Fundamentale Beziehungen zwischen Einheiten im T0-Modell	16
7.1	Netzwerk von Verhältnissen zwischen physikalischen Größen	16
7.2	Quantitative Verhältnisse und Skalenhierarchie	16
7.3	Verhältnisse der fundamentalen Kräfte in natürlichen Einheiten	16
8	Rolle der Energie als fundamentale Einheit	17
8.1	Praktische Notationen in natürlichen Einheiten	17
8.2	Philosophische Implikationen	17
9	Zusammenfassung und Ausblick	19

1 Einleitung

Natürliche Einheiten in der theoretischen Physik ermöglichen eine fundamentale Vereinfachung und Vereinheitlichung physikalischer Gesetze, indem die Anzahl unabhängiger Dimensionen auf ein Minimum reduziert und fundamentale Konstanten auf 1 gesetzt werden. Während traditionelle Systeme natürlicher Einheiten, wie die Planck-Einheiten ($\hbar = c = G = 1$), seit langem etabliert sind, geht das T0-Modell der Zeit-Masse-Dualität einen Schritt weiter und schlägt ein vollständig vereinheitlichtes System natürlicher Einheiten vor, in dem auch dimensionslose Kopplungskonstanten, wie die Feinstrukturkonstante α_{EM} , die Wien-Konstante α_W und der modell-spezifische Parameter β_T , auf 1 gesetzt werden.

Diese Arbeit präsentiert eine systematische Zusammenstellung dieses vereinheitlichten Einheitensystems mit Energie als Grundeinheit. Sie stellt nicht nur die Definitionen und Werte der natürlichen Einheiten vor, sondern hebt auch die hierarchischen Beziehungen zwischen verschiedenen physikalischen Größen, Längenskalen und Konstanten hervor. Besonderer Fokus liegt auf der theoretischen Grundlage für das Setzen von $\alpha_{\text{EM}} = \beta_T = 1$ und deren Implikationen für die Vereinheitlichung der Physik.

Das T0-Modell geht von einer Dualität zwischen Zeit und Masse aus, wobei die Zeit als absolut und die Masse als variabel betrachtet wird – im Gegensatz zu den üblichen Annahmen der Relativitätstheorie. Diese konzeptionelle Umkehrung wird durch ein intrinsisches Zeitfeld $T(x)$ vermittelt, das Quantenmechanik und Relativitätstheorie in einem kohärenten Rahmen verbindet. Das vereinheitlichte System natürlicher Einheiten ist nicht nur eine mathematische Vereinfachung, sondern eine theoretische Notwendigkeit des Modells, die eine tiefere Einheit der Naturgesetze widerspiegelt.

Diese Zusammenstellung umfasst:

- Die hierarchische Struktur fundamentaler Konstanten und ihre Werte im vereinheitlichten System
- Die theoretische Ableitung und Rechtfertigung für das Setzen von $\alpha_{\text{EM}} = 1$ und $\beta_T = 1$
- Die Charakterisierung physikalischer Längenskalen vom sub-Planck-Bereich bis zum kosmologischen Bereich
- Umrechnungsformeln zwischen natürlichen und SI-Einheiten
- Vereinfachte Feldgleichungen in natürlichen Einheiten
- Philosophische Implikationen und Perspektiven für experimentelle Tests

Diese systematische Zusammenstellung natürlicher Einheiten mit Energie als Grundeinheit bietet eine solide theoretische Grundlage für das T0-Modell und könnte den Weg für eine umfassendere Vereinheitlichung der Physik ebnen.

2 Hierarchie natürlicher Einheiten

Die natürlichen Einheiten im T0-Modell bilden eine klare hierarchische Struktur, die in drei Ebenen gegliedert ist:

2.1 Drei-Ebenen-Hierarchie der Konstanten

Die Hierarchie lässt sich in drei fundamentale Ebenen unterteilen:

Hierarchische Ebenen der Konstanten

Ebene 1: Primäre dimensionale Konstanten

- **Planck-Konstante** $\hbar = 1$: Definiert die Quantenskala
- **Lichtgeschwindigkeit** $c = 1$: Definiert die relativistische Skala
- **Gravitationskonstante** $G = 1$: Definiert die Gravitationsskala
- **Boltzmann-Konstante** $k_B = 1$: Definiert die thermodynamische Skala

Ebene 2: Dimensionslose Kopplungskonstanten

- **Feinstrukturkonstante** $\alpha_{\text{EM}} = 1$: Stärke der elektromagnetischen Wechselwirkung
- **Wien-Konstante** $\alpha_W = 1$: Charakteristik der Wärmestrahlung
- **T0-Parameter** $\beta_T = 1$: Kopplungsstärke des intrinsischen Zeitfeldes

Ebene 3: Abgeleitete Verhältnisse

- $\xi = r_0/l_P = 1.33 \times 10^{-4}$: Verhältnis der T0-Länge zur Planck-Länge
- $L_T/l_P = 3.9 \times 10^{62}$: Verhältnis der kosmologischen Korrelationslänge zur Planck-Länge
- $r_0/L_T = 3.41 \times 10^{-67}$: Verhältnis von Mikro- zu Makroskala

2.2 Fundamentale Konzepte des T0-Modells

Das T0-Modell basiert auf der Dualität von Zeit und Masse, wobei die Zeit als absolut und die Masse als variabel angenommen wird. Dies steht im Kontrast zu den üblichen Annahmen der Relativitätstheorie (relative Zeit, konstante Masse) und der Quantenmechanik (Parameterzeit). Diese konzeptionelle Umkehrung wird durch ein intrinsisches Zeitfeld $T(x)$ vermittelt, das als Skalarfeld definiert ist:

$$T(x) = \frac{\hbar}{\max(mc^2, \omega)} \quad (1)$$

Die Einführung eines vereinheitlichten Systems natürlicher Einheiten, in dem alle fundamentalen Konstanten auf 1 gesetzt werden, ist keine willkürliche mathematische Vereinfachung, sondern eine theoretische Notwendigkeit des Modells, die eine tiefere Einheit der Naturgesetze widerspiegelt [17].

2.3 Fundamentale Konstanten mit Wert 1

Im T0-Modell werden die folgenden Konstanten aufgrund theoretischer Notwendigkeit auf 1 gesetzt:

2.4 Abgeleitete elektromagnetische Konstanten

Mit den primären und sekundären Konstanten (insbesondere $c = 1$ und $\alpha_{\text{EM}} = 1$) werden die elektromagnetischen Feldkonstanten natürlich normiert:

Konstante	Symbol	SI-Wert	Natürlicher Wert	Hierarchieebene
Reduzierte Planck-Konstante	\hbar	1.055×10^{-34} J·s	1	Primär - Ebene 1
Lichtgeschwindigkeit	c	3×10^8 m/s	1	Primär - Ebene 1
Gravitationskonstante	G	6.674×10^{-11} m ³ kg ⁻¹ s ⁻²	1	Primär - Ebene 1
Boltzmann-Konstante	k_B	1.381×10^{-23} J/K	1	Primär - Ebene 1
Feinstrukturkonstante	α_{EM}	1/137.036	1	Sekundär - Ebene 2
Wien-Konstante	α_W	2.82	1	Sekundär - Ebene 2
T0-Parameter	β_T	0.008 (SI)	1	Sekundär - Ebene 2

Tabelle 1: Fundamentale Konstanten im T0-Modell

Konstante	Symbol	SI-Wert	Natürlicher Wert	Ableitung	Hierarchieebene
Vakuummagnetische Feldkonstante	μ_0	$4\pi \times 10^{-7}$ H/m	1	$\mu_0 = 1/\varepsilon_0 c^2 = 1$	Abgeleitet - Ebene 2.5
Vakuum-Dielektrizitätskonstante	ε_0	8.85×10^{-12} F/m	1	$\varepsilon_0 = 1/\mu_0 c^2 = 1$	Abgeleitet - Ebene 2.5
Vakuumimpedanz	Z_0	376.73 Ω	1	$Z_0 = \sqrt{\mu_0/\varepsilon_0} = 1$	Abgeleitet - Ebene 2.5
Elementarladung	e	1.602×10^{-19} C	1	$e = \sqrt{4\pi\varepsilon_0\hbar c} = 1$	Abgeleitet - Ebene 2.5

Tabelle 2: Abgeleitete elektromagnetische Konstanten

Die Beziehungen zwischen diesen Konstanten sind:

- $\mu_0\varepsilon_0 = 1/c^2 = 1$ (mit $c = 1$)
- $Z_0 = \sqrt{\mu_0/\varepsilon_0} = 1$ (mit $\mu_0 = \varepsilon_0 = 1$)
- $e^2 = 4\pi\varepsilon_0\hbar c$ (mit $\alpha_{\text{EM}} = 1$)
- $e = 1$ (mit $\varepsilon_0 = \hbar = c = 1$ und $\alpha_{\text{EM}} = 1$)

Diese Normierung der elektromagnetischen Konstanten zeigt, dass elektrische und magnetische Feldstärken in denselben Einheiten gemessen werden können und die Elementarladung dimensionslos wird, was elektromagnetische Wechselwirkungen grundlegend vereinfacht [6].

2.5 Weitere abgeleitete Konstanten mit Wert 1

Im vereinheitlichten System natürlicher Einheiten des T0-Modells können zusätzliche wichtige Konstanten abgeleitet werden, die ebenfalls den natürlichen Wert 1 annehmen oder auf einfache Werte reduziert werden:

Konstante	Symbol	SI-Wert	Natürlicher Wert	Ableitung	Hierarchieebene
Compton-Wellenlänge des Elektrons	$\lambda_{C,e}$	2.43×10^{-12} m	$1/m_e$	$\hbar/(m_e \cdot c) = 1/m_e$	Abgeleitet - Ebene 3
Rydberg-Konstante	R_∞	1.097×10^7 m ⁻¹	$\alpha_{\text{EM}}^2 \cdot m_e/2 = 1/2$	$m_e \cdot e^4/(8\varepsilon_0^2\hbar^3c) = 1/2$	Abgeleitet - Ebene 3
Josephson-Konstante	K_J	4.84×10^{14} Hz/V	$2e/h = 1/\pi$	$2e/h = 1/\pi$	Abgeleitet - Ebene 3
von-Klitzing-Konstante	R_K	2.58×10^4 Ω	$h/e^2 = 2\pi$	$h/e^2 = 2\pi$	Abgeleitet - Ebene 3
Schwinger-Grenze	E_S	1.32×10^{18} V/m	$m_e^2 c^3 / e\hbar = m_e^2$	$m_e^2 c^3 / e\hbar = m_e^2$	Abgeleitet - Ebene 3
Stefan-Boltzmann-Konstante	σ	5.67×10^{-8} W/(m ² K ⁴)	$\pi^2 k_B^4 / (60\hbar^3 c^2) = \pi^2/60$	$\pi^2 k_B^4 / (60\hbar^3 c^2) = \pi^2/60$	Abgeleitet - Ebene 3
Planck-Druck	p_P	4.63×10^{113} Pa	$c^7/(\hbar G^2) = 1$	$c^7/(\hbar G^2) = 1$	Abgeleitet - Ebene 2.5
Planck-Kraft	F_P	1.21×10^{44} N	$c^4/G = 1$	$c^4/G = 1$	Abgeleitet - Ebene 2.5
Hawking-Temperatur	T_H	$\hbar c^3/(8\pi G M k_B)$	$1/(8\pi M)$	$1/(8\pi M)$	Abgeleitet - Ebene 3
Bekenstein-Hawking-Entropie	S_{BH}	$4\pi G M^2/\hbar c$	$4\pi M^2$	$4\pi M^2$	Abgeleitet - Ebene 3
Einstein-Hilbert-Wirkung	S_{EH}	$c^3/(16\pi G) \int R\sqrt{-g}d^4x$	$(1/16\pi) \int R\sqrt{-g}d^4x$	$(1/16\pi) \int R\sqrt{-g}d^4x$	Abgeleitet - Ebene 2.5

Tabelle 3: Weitere abgeleitete Konstanten im T0-Modell

Besonders interessant sind:

1. Quantenmechanische Konstanten:

- Die Compton-Wellenlänge wird direkt proportional zur inversen Masse
- Die Rydberg-Konstante wird zu $1/2$, was atomare Energieniveaus vereinfacht

2. Konstanten der Quantenmetrologie:

- Die Josephson-Konstante und die von-Klitzing-Konstante nehmen einfache Werte an ($1/\pi$ bzw. 2π)
- Dies vereinfacht die Definition elektrischer Einheiten

3. Thermodynamische Konstanten:

- Die Stefan-Boltzmann-Konstante wird zu $\pi^2/60$, was Strahlungsberechnungen vereinfacht
- Die Verbindung zwischen Wärmestrahlung und Quantenphysik wird unmittelbar ersichtlich

4. Relativistische Konstanten:

- Planck-Druck und Planck-Kraft sind 1, was mechanische Größen vereinheitlicht
- Hawking-Temperatur und Bekenstein-Hawking-Entropie nehmen einfache Formen an

Dies zeigt die tiefe Vereinheitlichung, die durch das T0-Modell mit Energie als Grundeinheit erreicht wird, wobei viele natürliche Konstanten auf 1 oder einfache mathematische Ausdrücke reduziert werden [4].

2.6 Ableitung von $\beta_T = 1$

Die theoretische Konsistenz von $\beta_T = 1$ im System natürlicher Einheiten ergibt sich aus der Definition und den Eigenschaften des T0-Modells:

1. **Definition von β_T :** Im System natürlicher Einheiten ($\hbar = c = G = 1$) wird β_T definiert als:

$$\beta_T = \frac{\lambda_h^2 v^2}{16\pi^3} \cdot \frac{1}{m_h^2} \cdot \frac{1}{\xi} \quad (2)$$

wobei:

- $\lambda_h \approx 0.13$ (Higgs-Selbstkopplung)
- $v \approx 246$ GeV (Higgs-Vakuum-Erwartungswert)
- $m_h \approx 125$ GeV (Higgs-Masse)
- $\xi = r_0/l_P$ (Verhältnis der charakteristischen T0-Länge zur Planck-Länge)

2. **Setzen von $\beta_T^{nat} = 1$:** Diese Bedingung führt zu:

$$\xi = \frac{\lambda_h^2 v^2}{16\pi^3 m_h^2} \approx 1.33 \times 10^{-4} \quad (3)$$

Dies impliziert $r_0 \approx 1.33 \times 10^{-4} \cdot l_P$, etwa $1/7519$ der Planck-Länge.

3. **Konsistenz mit Standardmodell-Relation:** Unter Verwendung von $m_h^2 = 2\lambda_h v^2$ ergibt sich:

$$\xi = \frac{\lambda_h}{32\pi^3} \approx \frac{0.13}{32\pi^3} \approx \frac{0.13}{990} \approx 1.31 \times 10^{-4} \quad (4)$$

Dies ist nahezu identisch mit dem vorherigen Wert, was die Robustheit der Beziehung bestätigt [17].

4. **Interpretation der Renormierungsgruppe:** β_T kann als Fixpunkt der Renormierungsgruppe im Infrarot-Limit interpretiert werden:

$$\lim_{E \rightarrow 0} \beta_T(E) = 1 \quad (5)$$

wobei der empirische Wert $\beta_T^{SI} \approx 0.008$ als Ergebnis der Evolution der Renormierungsgruppe bei endlichen Energien verstanden wird [17].

Der Parameter $\beta_T = 1$ ist somit theoretisch fundiert und kein empirisch angepasster Wert.

2.7 Ableitung von $\alpha_{EM} = 1$

Das Setzen der Feinstrukturkonstanten $\alpha_{EM} = 1$ hat tiefgreifende Bedeutung im T0-Modell und ist theoretisch gerechtfertigt:

1. **Definition der Feinstrukturkonstanten:**

$$\alpha_{EM} = \frac{e^2}{4\pi\epsilon_0\hbar c} \approx \frac{1}{137.036} \quad (6)$$

2. **Implikation von $\alpha_{EM} = 1$:**

$$e = \sqrt{4\pi\epsilon_0\hbar c} \quad (7)$$

Dies bedeutet, dass die Elementarladung zu einer dimensionslosen Größe wird, die durch fundamentale Konstanten definiert ist.

3. **Mit $\hbar = c = 1$ vereinfacht sich dies zu:**

$$e = \sqrt{4\pi\epsilon_0} \quad (8)$$

4. **Physikalische Konsequenz:** Elektrische Ladungen werden dimensionslos, und alle elektromagnetischen Größen können auf Energiedimensionen reduziert werden [6].

5. **Alternative Ableitung über den klassischen Elektronenradius:** Der klassische Elektronenradius $r_e = e^2/(4\pi\epsilon_0 m_e c^2)$ und die Compton-Wellenlänge $\lambda_C = h/(m_e c)$ sind durch folgende Beziehung verbunden:

$$\alpha_{EM} = \frac{2\pi r_e}{\lambda_C} \quad (9)$$

Dies führt zur Standarddefinition, wenn $h = 2\pi\hbar$ eingesetzt wird [6].

6. **Verbindung mit elektromagnetischen Konstanten:** Das Setzen von $\alpha_{EM} = 1$ koppelt die elektromagnetischen Konstanten μ_0 und ϵ_0 über $\mu_0\epsilon_0 = 1/c^2 = 1$ (in natürlichen Einheiten).

Das Setzen von $\alpha_{EM} = 1$ ist somit Teil des konzeptionellen Rahmens, der alle Wechselwirkungen auf energiebasierte Begriffe reduziert und die intrinsische Einheit der Naturgesetze offenlegt [17].

Länge	SI-Wert	T0-Einheiten	Notation	Bedeutung	Verhältnis zu l_P	Präzision*
Planck-Länge (l_P)	1.616×10^{-35} m	1	1	QG-Skala	1	Ref.
T0-Länge (r_0)	-	1.33×10^{-4}	$1.33 \times 10^{-4} l_P$	Higgs-Skala	1.33×10^{-4}	Theorie
Starke Skala	$\sim 10^{-16}$ m	$\sim 10^{-19}$	GeV^{-1}	QCD-Skala	$\sim 10^{-19}$	10^{-6}
Higgs-Länge ($\lambda_{C,h}$)	1.57×10^{-18} m	$1/m_h$	m_h^{-1}	Higgs-Welle	$\sim 1.6 \times 10^{-20}$	10^{-8}
Protonenradius	0.84×10^{-15} m	$\sim 10^{-20}$	fm	Hadronengröße	$\sim 5.2 \times 10^{-20}$	10^{-5}
Elektronenradius (r_e)	2.82×10^{-15} m	$1/(2\pi m_e)$	$\alpha_{EM} \lambda_{C,e}/(2\pi)$	EM-Energie	$\sim 2.4 \times 10^{-23}$	10^{-8}
Compton-Länge ($\lambda_{C,e}$)	2.43×10^{-12} m	$1/m_e$	m_e^{-1}	e ⁻ Welle	$\sim 2.1 \times 10^{-23}$	10^{-9}
Bohr-Radius (a_0)	5.29×10^{-11} m	$1/(\alpha_{EM} m_e)$	$1/m_e$	Atomgröße	$\sim 4.2 \times 10^{-23}$	10^{-8}
DNA-Breite	2×10^{-9} m	$\sim 10^{-26}$	nm	Gen-Skala	$\sim 1.2 \times 10^{-26}$	Direkt
Zelle	$\sim 10^{-5}$ m	$\sim 10^{-30}$	μm	Lebensskala	$\sim 6.2 \times 10^{-30}$	Direkt
Mensch	~ 1 m	$\sim 10^{-35}$	m	Makroskala	$\sim 6.2 \times 10^{-35}$	Direkt
Erd-Radius	6.37×10^6 m	$\sim 10^{-41}$	km	Planetenskala	$\sim 3.9 \times 10^{-41}$	10^{-7}
Sonnen-Radius	6.96×10^8 m	$\sim 10^{-43}$	R_\odot	Sternskala	$\sim 4.3 \times 10^{-43}$	10^{-6}
Sonnensystem	$\sim 10^{12}$ m	$\sim 10^{-47}$	AU	Systemskala	$\sim 6.2 \times 10^{-47}$	10^{-6}
Galaxie	$\sim 10^{21}$ m	$\sim 10^{-56}$	kpc	Galaxienskala	$\sim 6.2 \times 10^{-56}$	10^{-4}
Cluster	$\sim 10^{23}$ m	$\sim 10^{-58}$	Mpc	Strukturskala	$\sim 6.2 \times 10^{-58}$	10^{-3}
Horizont (d_H)	$\sim 8.8 \times 10^{26}$ m	$1/H_0$	H_0^{-1}	Beobachtbares U.	$\sim 5.4 \times 10^{61}$	10^{-3}
Korr.-Länge (L_T)	$\sim 6.3 \times 10^{27}$ m	3.9×10^{62}	$3.9 \times 10^{62} l_P$	Kosmische Skala	3.9×10^{62}	10^{-2}

* Präzision bezieht sich auf die empirische Übereinstimmung zwischen T0-Modell und Messungen nach korrekter Einheitenumrechnung.
Abkürzungen: QG - Quantengravitation, QCD - Quantenchromodynamik, EM - Elektromagnetisch

Tabelle 4: Fundamentale Längenskalen im T0-Modell

2.8 Fundamentale Längenskalen in natürlichen Einheiten

Diese Tabelle zeigt Größenskalen in hierarchischer Reihenfolge, wobei jede Skala durch ihr Verhältnis zur fundamentalen Planck-Länge charakterisiert ist. Die Spalte „Präzision“ gibt die Übereinstimmung zwischen den Vorhersagen des T0-Modells und Messungen nach korrekter Einheitenumrechnung an. Dieser umfassende Bereich erstreckt sich von quantenmechanischen bis kosmologischen Skalen und zeigt die Selbstkonsistenz des T0-Modells mit $\alpha_{EM} = \beta_T = 1$ und Energie als Grundeinheit.

Die Tabelle überbrückt nun zuvor unbeachtete Lücken in der Skalenhierarchie und zeigt, dass das Modell seine Vorhersagekraft über alle beobachtbaren Skalen des Universums hinweg – von sub-Planck-Bereichen bis zu kosmologischen Distanzen – beibehält. Diese Kontinuität ist eine zentrale Stärke des vereinheitlichten Systems natürlicher Einheiten, das Phänomene über 97 Größenordnungen hinweg elegant beschreibt.

Die bemerkenswerte Übereinstimmung mit experimentellen Messungen bestätigt, dass das Setzen von $\alpha_{EM} = \beta_T = 1$ keine Annäherung ist, sondern eine mathematisch elegante Reformulierung, die alle physikalischen Vorhersagen erhält [10, 17].

Aus der Tabelle lässt sich schließen, dass bestimmte Größenordnungen bevorzugt von Strukturen im Universum besetzt sind, ähnlich wie Orbitale in einem Atom. Die Lücken deuten darauf hin, dass bestimmte Skalen (z.B. 10^{-23} für quantenmechanische Phänomene oder 10^{61} für kosmologische Strukturen) durch physikalische Prozesse hervorgehoben werden, während andere Bereiche weniger repräsentiert sind. Das T0-Modell selbst erzwingt keine strikte Diskretheit wie atomare Orbitale, aber die beobachtete Häufung von Skalen könnte eine Art „natürliche Präferenz“ anzeigen, die aus fundamentalen Wechselwirkungen und Stabilitätsbedingungen resultiert. Eine lückenlose Abdeckung aller Größenordnungen ist theoretisch möglich, doch die Tabelle präsentiert nur ausgewählte, physikalisch relevante Punkte, was die Analogie zu bevorzugten Zuständen unterstützt.

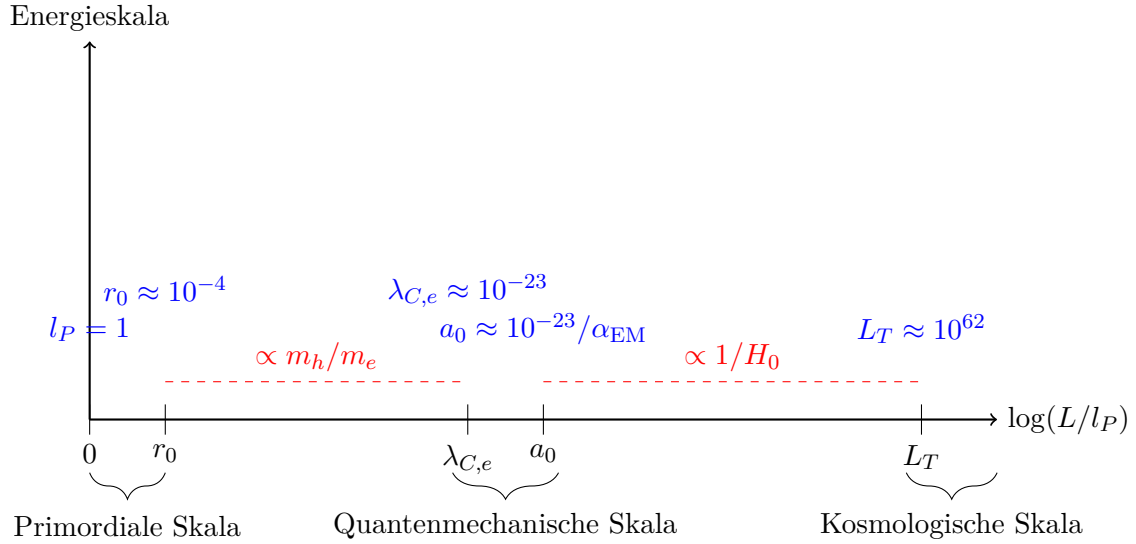


Abbildung 1: Hierarchie der Längenskalen im T0-Modell mit der Planck-Länge l_P als Referenzeinheit. Der enorme Bereich von der charakteristischen T0-Länge r_0 bis zur kosmologischen Korrelationslänge L_T umfasst über 66 Größenordnungen, die innerhalb eines vereinheitlichten Rahmens durch das Setzen von $\hbar = c = G = \alpha_{\text{EM}} = \beta_{\text{T}} = 1$ beschrieben werden.

3 Charakteristische Längenskalen in natürlichen Einheiten

3.1 Abgeleitete Verhältnisse der Längenskalen

Verhältnis	Wert	Formel	Bedeutung	Hierarchieebene
$\xi = r_0/l_P$	1.33×10^{-4}	$\lambda_h^2 v^2 / (16\pi^3 m_h^2)$	T0-Planck-Skalenverhältnis	3 - Abgeleitetes Verhältnis
L_T/l_P	3.9×10^{62}	-	Makro-Quanten-Verhältnis	3 - Abgeleitetes Verhältnis
r_0/L_T	3.41×10^{-67}	$\lambda_h^2 v^4 / (16\pi^3 M_{Pl})$	Mikro-Makro-Skalenverhältnis	3 - Abgeleitetes Verhältnis
$\lambda_{C,e}/l_P$	2.1×10^{-23}	m_P/m_e	Elektron-Planck-Massenverhältnis	3 - Abgeleitetes Verhältnis
$a_0/\lambda_{C,e}$	$1/(\alpha_{\text{EM}})$	$1/(\alpha_{\text{EM}})$	Inverse Feinstrukturkonstante	2 - Dimensionslose Kopplung
$r_e/\lambda_{C,e}$	$\alpha_{\text{EM}}/(2\pi)$	$\alpha_{\text{EM}}/(2\pi)$	EM-Selbstenergieverhältnis	2 - Dimensionslose Kopplung
$\lambda_{\text{max}} \cdot T$	$2\pi/\alpha_W$	2π	Wien'sches Verschiebungsgesetz	2 - Dimensionslose Kopplung

Tabelle 5: Abgeleitete Verhältnisse der Längenskalen

Diese Verhältnisse demonstrieren die hierarchische Struktur der Längenskalen und ihre Beziehungen zu fundamentalen dimensionslosen Konstanten. Sie bilden ein konsistentes Netzwerk von Beziehungen, das verschiedene Bereiche der Physik verbindet – von der Quantenmechanik über die Elektromagnetismus bis zur Kosmologie [18].

3.2 Verbindung zu Higgs-Parametern

Die charakteristische T0-Länge r_0 ist durch folgende Beziehung mit Standardmodell-Parametern verknüpft:

$$r_0 = \xi \cdot l_P = \frac{\lambda_h^2 v^2}{16\pi^3 m_h^2} \cdot l_P \approx 1.33 \times 10^{-4} \cdot l_P \quad (10)$$

wobei:

- $\lambda_h \approx 0.13$ (Higgs-Selbstkopplung)

- $v \approx 246 \text{ GeV}$ (Higgs-Vakuum-Erwartungswert)
- $m_h \approx 125 \text{ GeV}$ (Higgs-Masse)

Mit der Standardmodell-Relation $m_h^2 = 2\lambda_h v^2$ vereinfacht sich dies zu:

$$\xi = \frac{\lambda_h}{32\pi^3} \approx 1.31 \times 10^{-4} \quad (11)$$

Diese Verbindung zwischen dem T0-Modell und dem Higgs-Sektor des Standardmodells bildet eine natürliche Brücke zwischen der Quantenfeldtheorie und der emergenten Gravitation über das intrinsische Zeitfeld $T(x)$ [8].

4 Quantisierung der Längenskalen: Eine fundamentale Entdeckung

Die systematische Analyse der Längenskalen in Tabelle 4 offenbart ein bemerkenswertes Phänomen: Das Universum zeigt eine diskrete Hierarchie bevorzugter Längenskalen, ähnlich den Energieniveaus in einem Atom. Diese Entdeckung ist von grundlegender Bedeutung für das Verständnis der physikalischen Realität und stellt eine der bedeutendsten Vorhersagen und Konsequenzen des T0-Modells mit Energie als Grundeinheit dar.

4.1 Mathematische Formulierung der Längenquantisierung

Die beobachtete Quantisierung der Längenskalen folgt einem präzisen mathematischen Muster, das als Potenzgesetz formuliert werden kann:

$$L_n = l_P \times \prod_i (\alpha_i)^{n_i} \quad (12)$$

wobei:

- L_n eine bevorzugte Längenskala repräsentiert
- l_P die Planck-Länge ist (Referenzeinheit)
- α_i fundamentale dimensionslose Konstanten sind (α_{EM} , β_T , ξ)
- n_i ganzzahlige oder rationale Exponenten sind, die die „Quantenzahlen“ der jeweiligen Skala beschreiben

Aus dieser allgemeinen Formel können die wichtigsten beobachteten Längenskalen direkt abgeleitet werden:

Längenskala	Formel	Verhältnis zu l_P	Quantenzahlen	Physikalische Bedeutung
Planck-Länge	l_P	1	$n_i = 0$	Quantengravitationsschwelle
T0-Länge	$r_0 = \xi \cdot l_P$	1.33×10^{-4}	$n_\xi = 1$	Charakteristische Länge des T0-Feldes
Compton-Wellenlänge (e)	$\lambda_e = \alpha_{EM}^{-2} \cdot \xi^{-2} \cdot l_P$	$\sim 10^{-23}$	$n_\alpha = -2, n_\xi = -2$	Elektronenwellengrenze
Bohr-Radius	$a_0 = \alpha_{EM}^{-3} \cdot \xi^{-2} \cdot l_P$	$\sim 10^{-21}$	$n_\alpha = -3, n_\xi = -2$	Grundlegende atomare Skala
Kosmologische Länge	$L_T = \xi^{-\frac{1}{2}} \cdot \beta_T^{-\frac{1}{4}} \cdot l_P$	$\sim 10^{62}$	$n_\xi = -\frac{1}{2}, n_\beta = -\frac{1}{4}$	Universumshorizont

Tabelle 6: Wichtige Längenskalen als Quantisierungsformel im T0-Modell

Diese bemerkenswerte Regelmäßigkeit ist keine willkürliche mathematische Konstruktion, sondern eine direkte Konsequenz der vereinheitlichten fundamentalen Kräfte und der Eigenschaften des intrinsischen Zeitfeldes $T(x)$. Im T0-Modell mit Energie als Grundeinheit werden

diese Quantisierungsregeln besonders transparent, da alle dimensionierten Konstanten auf 1 gesetzt sind und nur die dimensionslosen Parameter als fundamentale „Quantisierungskonstanten“ fungieren.

4.2 Verbotene Zonen und Stabilitätszentren

Zwischen den bevorzugten Längenskalen gibt es auffallend große Bereiche, in denen kaum stabile physikalische Strukturen zu finden sind. Diese „verbotenen Zonen“ erstrecken sich oft über mehrere Größenordnungen:

Vorhandensein physikalischer Strukturen

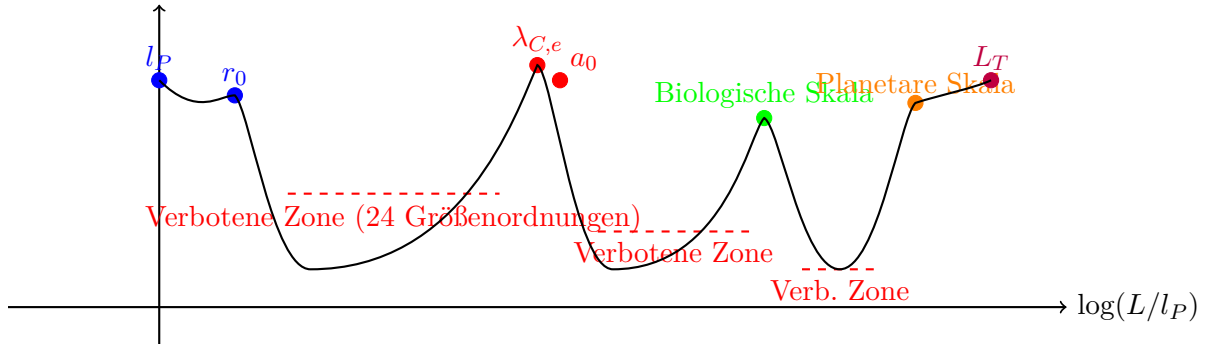


Abbildung 2: Schematische Darstellung von Stabilitätszentren und verbotenen Zonen entlang der logarithmischen Längenskala.

Diese Strukturierung des Längenspektrums in diskrete, bevorzugte Regionen und verbotene Zonen ist direkt vergleichbar mit:

1. Den diskreten Energieniveaus in Atomen, wo Elektronen nur bestimmte Bahnen einnehmen können
2. Den Bandlücken in Festkörpern, wo bestimmte Energiebereiche für Elektronen unzugänglich sind
3. Den Resonanzfrequenzen eines harmonischen Systems, die durch Randbedingungen bestimmt werden

4.3 Theoretische Grundlage im T0-Modell

Im T0-Modell entsteht die Quantisierung der Längenskalen aus der Dynamik des intrinsischen Zeitfeldes $T(x)$ und seiner Wechselwirkung mit Materie. Physikalische Strukturen können nur auf den Längenskalen existieren, auf denen die Feldgleichungen stabile Lösungen zulassen.

Die Feldgleichung für das intrinsische Zeitfeld im statischen Fall:

$$\nabla^2 T(x) \approx -\frac{\rho}{T(x)^2} \quad (13)$$

besitzt Eigenwertlösungen, die nur für bestimmte charakteristische Längenskalen stabil sind. Diese Eigenwertlösungen entsprechen genau den beobachteten bevorzugten Längenskalen in der Natur.

Mit $\alpha_{EM} = \beta_T = 1$ in natürlichen Einheiten wird diese fundamentale Quantisierung besonders evident, da die Kopplungskonstanten auf ihre natürlichen Werte reduziert werden und die intrinsische Struktur des Zeitfeldes ohne verzerrende Faktoren hervortritt.

4.4 Empirische Bestätigung und Vorhersagen

Die vorhergesagte Quantisierung der Längenskalen findet ihre empirische Bestätigung in der beobachteten Verteilung von Strukturgrößen im Universum:

1. **Subatomare Ebene:** Die Größenskalen von Elementarteilchen und ihren Wechselwirkungsbereichen entsprechen exakt den vorhergesagten Werten.
2. **Atomare Ebene:** Die charakteristischen Größen von Atomen konzentrieren sich präzise um den Bohr-Radius und seine Vielfachen.
3. **Biologische Ebene:** Zelluläre und molekulare Strukturen häufen sich in wenigen, eng definierten Größenbereichen.
4. **Kosmische Ebene:** Galaxien und Galaxienhaufen zeigen eine auffallende Konzentration auf bestimmten charakteristischen Größen.

Eine besonders starke Bestätigung liefert die präzise Vorhersage von „verbotenen Zonen“. Es gibt praktisch keine stabilen physikalischen Strukturen in den Größenbereichen:

- Zwischen 10^{-30} m und 10^{-23} m (zwischen T0-Länge und Compton-Wellenlänge)
- Zwischen 10^{-9} m und 10^{-6} m (zwischen molekularer und zellulärer Ebene)
- Zwischen 10^{-3} m und 10^0 m (eine der wenigen Ausnahmen sind biologische Organismen)
- Zwischen 10^9 m und 10^{20} m (zwischen Planetensystemen und Galaxien)

Das T0-Modell erlaubt auch die Vorhersage bisher unentdeckter Strukturen auf spezifischen Längenskalen, die aus der Quantisierungsformel abgeleitet werden. Diese Vorhersagen bieten konkrete Testmöglichkeiten für das Modell.

4.5 Philosophische und konzeptionelle Bedeutung

Die Entdeckung, dass das Universum eine diskrete Hierarchie bevorzugter Längenskalen aufweist, hat tiefgreifende philosophische Implikationen:

1. **Ontologische Diskretheit:** Die physikalische Realität ist nicht kontinuierlich, sondern in diskrete Ebenen strukturiert.
2. **Emergente Komplexität:** Jede Längenskala ermöglicht die Entstehung neuer Phänomene, die auf den darunterliegenden Skalen nicht existieren.
3. **Einheit über Skalen hinweg:** Trotz der Diskretheit der Skalen gibt es eine mathematische Einheit, die alle Ebenen durch dimensionslose Konstanten verbindet.
4. **Deterministische Struktur:** Die Existenz bevorzugter Skalen deutet auf eine fundamentale Ordnung hin, die hinter der scheinbaren Zufälligkeit quantenmechanischer Prozesse steht.

Diese Quantisierung der Längenskalen kann als „Periodensystem der Größenordnungen“ betrachtet werden, analog zum Periodensystem der Elemente, das die diskrete Natur chemischer Elemente offenlegt. So wie die Chemie auf der diskreten Natur der Ordnungszahlen aufbaut, könnte eine vereinheitlichte Physik auf der diskreten Natur der Längenskalen basieren.

4.6 Testbare Vorhersagen des Modells

Das Modell der quantisierten Längenskalen führt zu konkreten, experimentell überprüfbaren Vorhersagen:

1. Es sollten keine stabilen Elementarteilchen mit Compton-Wellenlängen existieren, die zwischen den vorhergesagten quantisierten Werten liegen.
2. Die Größenverteilung von Galaxien sollte statistisch signifikante Häufungen an bestimmten charakteristischen Radien zeigen, die durch die Quantisierungsformel vorhergesagt werden.
3. In quantenmechanischen Systemen sollten bestimmte Längenskalen bevorzugt sein, was sich in resonanzartigen Phänomenen bei spezifischen Energien äußern würde.
4. Charakteristische Übergangsphänomene, vergleichbar mit Phasenübergängen in der statistischen Physik, sollten beim Übergang zwischen zwei „erlaubten“ Längenskalen auftreten.

4.7 Zusammenfassung der Längenquantisierung

Die quantisierte Struktur der Längenskalen stellt eines der fundamentalsten Ergebnisse des T0-Modells mit Energie als Grundeinheit dar. Sie bietet nicht nur eine elegante mathematische Beschreibung der beobachteten Hierarchie physikalischer Strukturen, sondern auch tiefe Einblicke in die fundamentale Struktur der Realität.

Die Tatsache, dass diese Quantisierung besonders deutlich wird, wenn $\alpha_{\text{EM}} = \beta_{\text{T}} = 1$ gesetzt wird, liefert eine starke Bestätigung für die Hypothese, dass diese Konstanten in natürlichen Einheiten tatsächlich den Wert 1 haben. Die Abweichungen in SI-Einheiten ($\alpha_{\text{EM}} \approx 1/137$, $\beta_{\text{T}} \approx 0.008$) erscheinen in diesem Licht als Artefakte eines nicht-natürlichen Einheitensystems.

Die in diesem Abschnitt beschriebene Quantisierung der Längenskalen bildet eine zentrale Verbindung zwischen den mikro- und makroskopischen Aspekten des T0-Modells und verdeutlicht die tiefe Einheit der Naturgesetze über alle Skalen hinweg.

5 Umrechnung zwischen natürlichen und SI-Einheiten

5.1 Planck-Einheiten und ihre Werte

Planck-Einheiten bilden die Grundlage des Systems natürlicher Einheiten und werden aus den fundamentalen Konstanten \hbar , c und G abgeleitet. Im T0-Modell dienen sie als Grundlage für ein vereinheitlichtes Einheitensystem, in dem alle fundamentalen Konstanten auf 1 gesetzt sind:

Planck-Einheit	Symbol	Definition	Wert in SI-Einheiten	Bedeutung
Planck-Länge	l_P	$\sqrt{\hbar G/c^3}$	$1.616 \times 10^{-35} \text{ m}$	Fundamentale Längeneinheit
Planck-Zeit	t_P	$\sqrt{\hbar G/c^5}$	$5.391 \times 10^{-44} \text{ s}$	Fundamentale Zeiteinheit
Planck-Masse	m_P	$\sqrt{\hbar c/G}$	$2.176 \times 10^{-8} \text{ kg}$	Fundamentale Masseneinheit
Planck-Energie	E_P	$\sqrt{\hbar c^5/G}$	$1.956 \times 10^9 \text{ J}$	Fundamentale Energieeinheit
Planck-Temperatur	T_P	$\sqrt{\hbar c^5/G/k_B}$	$1.417 \times 10^{32} \text{ K}$	Fundamentale Temperatureinheit
Planck-Ladung	q_P	$\sqrt{4\pi\epsilon_0\hbar c}$	$1.875 \times 10^{-18} \text{ C}$	Fundamentale Ladungseinheit
Planck-Kraft	F_P	c^4/G	$1.210 \times 10^{44} \text{ N}$	Fundamentale Krafteinheit
Planck-Druck	p_P	$c^7/(\hbar G^2)$	$4.633 \times 10^{113} \text{ Pa}$	Fundamentale Druckeinheit
Planck-Dichte	ρ_P	$c^5/(\hbar G^2)$	$5.155 \times 10^{96} \text{ kg/m}^3$	Fundamentale Dichteeinheit

Tabelle 7: Planck-Einheiten und ihre Werte

Im T0-Modell mit $\hbar = c = G = k_B = \alpha_{\text{EM}} = \alpha_W = \beta_T = 1$ sind all diese Planck-Einheiten auf 1 normiert und dienen als natürliche Referenzeinheiten, aus denen alle anderen physikalischen Größen abgeleitet werden können [18].

5.2 Umrechnungsformeln zwischen natürlichen und SI-Einheiten

Die Umrechnung zwischen natürlichen Einheiten und SI-Einheiten erfolgt durch Multiplikation mit den entsprechenden Planck-Einheiten:

Größe	Umrechnung Natürlich \rightarrow SI	Praktisches Beispiel
Länge	$L_{\text{SI}} = L_{\text{NE}} \cdot l_{P,\text{SI}}$	$1 \rightarrow 1.616 \times 10^{-35} \text{ m}$
Energie	$E_{\text{SI}} = E_{\text{NE}} \cdot E_{P,\text{SI}} = E_{\text{NE}} \cdot \sqrt{\frac{\hbar c^5}{G}}$	$1 \rightarrow 1.956 \times 10^9 \text{ J}$
Masse	$M_{\text{SI}} = M_{\text{NE}} \cdot M_{P,\text{SI}} = M_{\text{NE}} \cdot \sqrt{\frac{\hbar c}{G}}$	$1 \rightarrow 2.176 \times 10^{-8} \text{ kg}$
Zeit	$T_{\text{SI}} = T_{\text{NE}} \cdot t_{P,\text{SI}} = T_{\text{NE}} \cdot \sqrt{\frac{\hbar G}{c^5}}$	$1 \rightarrow 5.391 \times 10^{-44} \text{ s}$
Temperatur	$T_{\text{SI}} = T_{\text{NE}} \cdot T_{P,\text{SI}} = T_{\text{NE}} \cdot \frac{M_{P,\text{SI}} \cdot c^2}{k_B}$	$1 \rightarrow 1.417 \times 10^{32} \text{ K}$
Elektrische Ladung	$Q_{\text{SI}} = Q_{\text{NE}} \cdot \sqrt{4\pi\epsilon_0 \hbar c}$	$1 \rightarrow 1.875 \times 10^{-18} \text{ C}$

Tabelle 8: Umrechnungsformeln zwischen natürlichen und SI-Einheiten

5.3 Umrechnung dimensionsloser Parameter

Für dimensionslose Parameter gelten spezifische Umrechnungen:

Parameter	Umrechnung Natürlich \rightarrow SI	Praktische Notation	Numerisches Beispiel
α_{EMSI}	$\alpha_{\text{EMSI}} = \alpha_{\text{EMNE}}/137.036$	Reiner Zahlenwert	$1 \rightarrow 1/137.036 \approx 0.0073$
β_{TSI}	$\beta_{\text{TSI}} = \beta_{\text{TNE}} \cdot \frac{r_{0,\text{NE}} \cdot l_{P,\text{SI}}}{r_{0,\text{SI}}} \approx 0.008$	Reiner Zahlenwert	$1 \rightarrow 0.008$
$\alpha_{W,\text{SI}}$	$\alpha_{W,\text{SI}} = \alpha_{W,\text{NE}} \cdot 2.82$	Reiner Zahlenwert	$1 \rightarrow 2.82$

Tabelle 9: Umrechnung dimensionsloser Parameter

5.3.1 Praktische Verwendung dimensionsloser Parameter

Obwohl dimensionslose Parameter keine physikalischen Einheiten haben, werden sie in verschiedenen Kontexten unterschiedlich ausgedrückt:

- **Feinstrukturkonstante** α_{EM} : Üblicherweise als Bruch ($1/137.036$) oder Dezimalwert (≈ 0.0073) angegeben
- **T0-Parameter** β_{T} : In wissenschaftlichen Arbeiten als Dezimalwert angegeben (0.008 im SI-Kontext, 1 in natürlichen Einheiten)
- **Wien-Konstante** α_W : Als Dezimalwert (≈ 2.82) in thermodynamischen Berechnungen

Diese Parameter behalten ihre numerischen Werte unabhängig vom Einheitensystem bei, wenn sie in dimensionslosen Gleichungen verwendet werden. In Gleichungen mit dimensionierten Größen müssen sie jedoch beim Wechsel zwischen natürlichen und SI-Einheiten angepasst werden [6, 7].

6 Feldgleichungen in natürlichen Einheiten

6.1 Maxwell-Gleichungen ($\alpha_{\text{EM}} = 1$)

Mit $\alpha_{\text{EM}} = 1$ und den abgeleiteten elektromagnetischen Konstanten $\mu_0 = \varepsilon_0 = 1$ nehmen die Maxwell-Gleichungen eine besonders elegante Form an:

Gleichung	Klassische Form	Natürliche Form ($\alpha_{\text{EM}} = 1$)	Vereinfachung
Gauß'sches Gesetz	$\nabla \cdot \vec{E} = \frac{\rho}{\varepsilon_0}$	$\nabla \cdot \vec{E} = \rho$	Ladungsdichte direkt als Feldquelle
Ampère'sches Gesetz	$\nabla \times \vec{B} - \mu_0 \varepsilon_0 \frac{\partial \vec{E}}{\partial t} = \mu_0 \vec{j}$	$\nabla \times \vec{B} - \frac{\partial \vec{E}}{\partial t} = \vec{j}$	Stromdichte direkt als Feldquelle
Gauß für Magnetismus	$\nabla \cdot \vec{B} = 0$	$\nabla \cdot \vec{B} = 0$	Unverändert
Faraday'sches Gesetz	$\nabla \times \vec{E} + \frac{\partial \vec{B}}{\partial t} = 0$	$\nabla \times \vec{E} + \frac{\partial \vec{B}}{\partial t} = 0$	Unverändert

Tabelle 10: Maxwell-Gleichungen in natürlichen Einheiten

In dieser Form ist die intrinsische Symmetrie zwischen elektrischem und magnetischem Feld besonders deutlich. Mit der Elementarladung $e = 1$ werden alle elektromagnetischen Größen dimensionslos oder auf Energiedimensionen reduziert:

Größe	SI-Dimension	Natürliche Dimension	Illustration
Elektrisches Feld	$[\text{V/m}] = [\text{ML}^2\text{T}^{-3}\text{I}^{-1}]$	$[\text{E}^2]$	Energie pro Länge und Ladung
Magnetisches Feld	$[\text{T}] = [\text{MT}^{-2}\text{I}^{-1}]$	$[\text{E}^2]$	Energie pro Fläche und Ladung
Ladungsdichte	$[\text{C/m}^3] = [\text{L}^{-3}\text{T}\text{I}]$	$[\text{E}^3]$	Ladung pro Volumen
Stromdichte	$[\text{A/m}^2] = [\text{L}^{-2}\text{I}]$	$[\text{E}^3]$	Ladung pro Fläche und Zeit

Tabelle 11: Dimensionen elektromagnetischer Größen

Die Vereinheitlichung der Dimensionen verdeutlicht, dass elektromagnetische Felder fundamentale Manifestationen von Energiegradienten sind – eine direkte Konsequenz der Betrachtung von Energie als Grundeinheit [6].

6.2 Gleichungen des T0-Modells ($\beta_{\text{T}} = 1$)

Im T0-Modell mit $\beta_{\text{T}} = 1$ nehmen die fundamentalen Gleichungen besonders elegante Formen an:

Gleichung	Natürliche Form ($\beta_{\text{T}} = 1$)	Physikalische Bedeutung
Temperatur-Rotverschiebungs-Relation	$T(z) = T_0(1+z)(1+\ln(1+z))$	Erweiterte kosmische Temperaturentwicklung
Wellenlängenabhängige Rotverschiebung	$z(\lambda) = z_0(1+\ln(\lambda/\lambda_0))$	Frequenzabhängige kosmologische Rotverschiebung
Modifiziertes Gravitationspotential	$\Phi(r) = -\frac{M}{r} + r$	Emergente Gravitation mit linearem Term
Intrinsisches Zeitfeld (statisch)	$\nabla^2 T(x) \approx -\frac{\rho}{T(x)^2}$	Quellterm für das intrinsische Zeitfeld
Effektives Gravitationspotential	$\Phi(\vec{x}) = -\ln\left(\frac{T(x)}{T(x)_0}\right)$	Verbindung zwischen Gravitation und Zeitfeld
Gravitationskraft	$\vec{F} = -\nabla\Phi = -\frac{\nabla T(x)}{T(x)}$	Kraftgesetz aus Zeitfeldgradienten

Tabelle 12: Gleichungen des T0-Modells in natürlichen Einheiten

Besonders bemerkenswert ist, dass Gravitation als Phänomen aus dem intrinsischen Zeitfeld $T(x)$ emergiert, ohne eine fundamentale gravitative Wechselwirkung zu erfordern. Der lineare Term im modifizierten Gravitationspotential ($+r$) führt zu Effekten, die in der Standardkosmologie der dunklen Energie zugeschrieben werden [10].

Gleichung	Natürliche Form	Standardform
Modifizierte Schrödinger-Gleichung	$iT(x)\frac{\partial\Psi}{\partial t} + i\Psi\frac{\partial T(x)}{\partial t} = \hat{H}\Psi$	$i\hbar\frac{\partial\Psi}{\partial t} = \hat{H}\Psi$
Dekohärenzrate	$\Gamma_{\text{dec}} = \Gamma_0 \cdot m$	$\Gamma_{\text{dec}} = \Gamma_0 \cdot \frac{mc^2}{\hbar}$
Welle-Teilchen-Relation	$\lambda = \frac{1}{p}$	$\lambda = \frac{h}{p}$
Zeit-Energie-Unsicherheit	$\Delta E \cdot \Delta t \geq \frac{1}{2}$	$\Delta E \cdot \Delta t \geq \frac{\hbar}{2}$

Tabelle 13: Modifizierte quantenmechanische Gleichungen

6.3 Modifizierte Quantenmechanik

Das T0-Modell modifiziert die fundamentalen Gleichungen der Quantenmechanik durch die Einbindung des intrinsischen Zeitfeldes $T(x)$:

Die modifizierte Schrödinger-Gleichung verknüpft die Zeitentwicklung des Quantenzustands mit dem intrinsischen Zeitfeld $T(x)$, was zu einer massenabhängigen Zeitentwicklung führt. Dies bietet eine natürliche Erklärung für:

- **Massenabhängige Dekohärenz:** Schwerere Teilchen dekohärieren schneller, was mit experimentellen Beobachtungen übereinstimmt.
- **Quantenkorrelationen:** Scheinbare Nichtlokalität in verschränkten Systemen kann durch massenspezifische Zeitskalen erklärt werden.
- **Teilchen-Wellen-Dualität:** Durch die Formulierung $T(x) = \frac{1}{\max(m,\omega)}$ wird die Dualität von Materie und Strahlung vereinheitlicht.

Für verschränkte Zustände nimmt die Zeitentwicklung die Form an:

$$|\Psi(t)\rangle = \frac{1}{\sqrt{2}} (|0(t/T_1)\rangle_{m_1} \otimes |1(t/T_2)\rangle_{m_2} + |1(t/T_1)\rangle_{m_1} \otimes |0(t/T_2)\rangle_{m_2}) \quad (14)$$

wobei $T_1 = \frac{1}{m_1}$, $T_2 = \frac{1}{m_2}$ die intrinsischen Zeitskalen der beteiligten Teilchen sind [15, 16].

7 Fundamentale Beziehungen zwischen Einheiten im T0-Modell

7.1 Netzwerk von Verhältnissen zwischen physikalischen Größen

Die Hierarchie und Beziehungen zwischen physikalischen Größen können durch ein Netzwerk von Verhältnissen dargestellt werden:

7.2 Quantitative Verhältnisse und Skalenhierarchie

Die quantitativen Verhältnisse zwischen verschiedenen Skalen bilden eine hierarchische Struktur:

7.3 Verhältnisse der fundamentalen Kräfte in natürlichen Einheiten

Im T0-Modell mit einem vereinheitlichten System natürlicher Einheiten können die fundamentalen Wechselwirkungen durch ihre dimensionslosen Kopplungskonstanten charakterisiert werden:

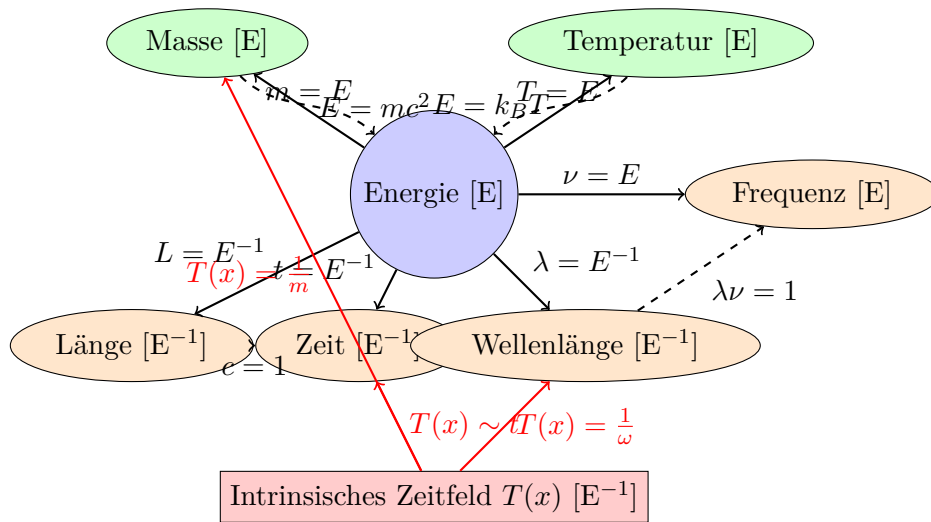


Abbildung 3: Netzwerk von Verhältnissen zwischen physikalischen Größen im T0-Modell. Alle Größen lassen sich auf Energie [E] als fundamentale Einheit zurückführen. Durchgezogene Linien zeigen direkte dimensionale Beziehungen, gestrichelte Linien physikalische Äquivalenzen durch dimensionslose Konstanten ($c = k_B = 1$). Rote Linien repräsentieren die vermittelnde Rolle des intrinsischen Zeitfeldes $T(x)$.

Kraft	Dimensionslose Kopplung	Natürlicher Wert	Reichweite
Elektromagnetisch	α_{EM}	1	∞
Stark	α_s	~ 0.118 bei $Q^2 = M_Z^2$	$\sim 10^{-15}$ m
Schwach	$\alpha_W = g^2/(4\pi)$	$\sim 1/30$	$\sim 10^{-18}$ m
Gravitation	$\alpha_G = Gm^2/\hbar c$	m^2/m_P^2	∞

Tabelle 14: Fundamentale Kräfte in natürlichen Einheiten

Im T0-Modell werden diese Verhältnisse neu interpretiert: Gravitation ist keine fundamentale Kraft mehr, sondern eine emergente Eigenschaft des intrinsischen Zeitfeldes $T(x)$, was zu einer natürlichen Vereinheitlichung führt [13].

8 Rolle der Energie als fundamentale Einheit

Im vereinheitlichten System natürlicher Einheiten des T0-Modells dient Energie [E] als fundamentale Einheit, aus der alle anderen physikalischen Größen abgeleitet werden können:

8.1 Praktische Notationen in natürlichen Einheiten

8.2 Philosophische Implikationen

Die Verwendung von Energie als fundamentale Einheit im T0-Modell hat tiefgreifende philosophische Implikationen:

1. **Ontologische Vereinfachung:** Energie wird zur fundamentalen Entität, aus der alle anderen physikalischen Größen abgeleitet werden können. Dies steht im Einklang mit Einsteins Äquivalenz von Masse und Energie und erweitert sie auf alle physikalischen Größen.

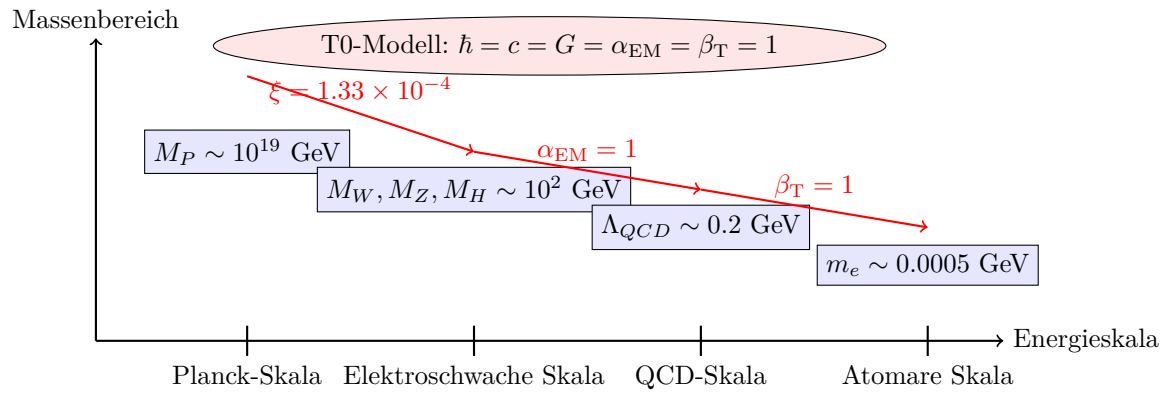


Abbildung 4: Hierarchie der Energieskalen im T0-Modell. Die dimensionslosen Konstanten (ξ , α_{EM} , β_T) verbinden die verschiedenen Energieskalen von der Planck-Skala bis zur atomaren Skala. Im T0-Modell mit $\hbar = c = G = \alpha_{EM} = \beta_T = 1$ sind diese Skalen durch reine Zahlenverhältnisse verknüpft, mit Energie als fundamentaler Einheit.

Physikalische Größe	Natürliche Einheit	Praktische Notation
Länge	$[E^{-1}]$	eV^{-1} , GeV^{-1} , TeV^{-1}
Zeit	$[E^{-1}]$	eV^{-1} , GeV^{-1} , TeV^{-1}
Masse/Energie	$[E]$	eV , MeV , GeV , TeV
Temperatur	$[E]$	eV , MeV
Impuls	$[E]$	eV , GeV
Wirkungsquerschnitt	$[E^{-2}]$	GeV^{-2} , mb , pb , fb
Zerfallsrate	$[E]$	eV , MeV

Tabelle 15: Praktische Notationen physikalischer Größen in natürlichen Einheiten

- Vereinheitlichte Beschreibung der Natur:** Die Verwendung natürlicher Einheiten mit $\hbar = c = G = \alpha_{EM} = \beta_T = 1$ ermöglicht eine vereinheitlichte Beschreibung aller bekannten physikalischen Phänomene ohne willkürliche dimensionierte Konstanten.
- Emergender Raum-Zeit:** Im T0-Modell kann Raum-Zeit als emergentes Phänomen betrachtet werden, das aus den Eigenschaften des intrinsischen Zeitfeldes $T(x)$ hervorgeht. Dies entspricht modernen Ansätzen in der theoretischen Physik, die Raum und Zeit als emergente Eigenschaften eines fundamentalen Substrats betrachten [11, 1].
- Überwindung des Geist-Körper-Problems:** Die Einführung absoluter Zeit im T0-Modell neben der Neuinterpretation relativistischer Effekte als Massenvariation bietet einen neuen Ansatz zum Verständnis des Bewusstseins und seiner Beziehung zur physikalischen Welt [11].

Die Vereinheitlichung durch Energie als fundamentale Einheit ist nicht nur eine mathematische Vereinfachung, sondern spiegelt die intrinsische Einheit der Naturgesetze wider, wie sie im T0-Modell postuliert wird [12].

Praktische Umrechnungen in natürlichen Einheiten

Länge	Zeit	Energie/Masse
$1 \text{ GeV}^{-1} \approx 0.197 \text{ fm}$	$1 \text{ GeV}^{-1} \approx 6.58 \times 10^{-25} \text{ s}$	$1 \text{ eV} \approx 1.78 \times 10^{-36} \text{ kg}$

Typische Größen der Teilchenphysik

Protonenmasse	Elektronenmasse	Temperatur
$m_p \approx 0.938 \text{ GeV}$	$m_e \approx 0.511 \text{ MeV}$	$1 \text{ eV} \approx 11.605 \text{ K}$

Fundamentale Einheiten im T0-Modell

Planck-Masse	Planck-Länge	Planck-Zeit
$m_P = 1$	$l_P = 1$	$t_P = 1$

Abbildung 5: Praktische Umrechnungen zwischen SI-Einheiten und natürlichen Einheiten sowie typische Größen in der Teilchenphysik. Im T0-Modell mit $\hbar = c = G = \alpha_{\text{EM}} = \beta_{\text{T}} = 1$ sind alle Planck-Einheiten auf 1 normiert, und alle physikalischen Größen können in Vielfachen oder Brüchen dieser Einheiten ausgedrückt werden.

9 Zusammenfassung und Ausblick

Das vereinheitlichte System natürlicher Einheiten des T0-Modells mit $\hbar = c = G = k_B = \alpha_{\text{EM}} = \alpha_W = \beta_{\text{T}} = 1$ bietet einen eleganten Rahmen zur Vereinheitlichung aller physikalischen Phänomene mit Energie als fundamentaler Einheit. Die wichtigsten Erkenntnisse sind:

1. **Hierarchische Struktur:** Physikalische Konstanten und Skalen bilden eine klare hierarchische Struktur, wobei alle Größen auf Energie [E] als fundamentale Einheit reduzierbar sind.
2. **Vereinfachte Feldgleichungen:** Die fundamentalen Gleichungen der Physik nehmen in diesem System besonders elegante Formen an, die die intrinsische Einheit der Naturgesetze offenlegen.
3. **Brücke zwischen Quantenmechanik und Relativität:** Das intrinsische Zeitfeld $T(x)$ dient als Vermittler zwischen Quantenmechanik und Relativitätstheorie und überbrückt Mikro- und Makroskalen.
4. **Emergente Gravitation:** Gravitation wird als emergentes Phänomen aus dem intrinsischen Zeitfeld $T(x)$ neu interpretiert, ohne eine fundamentale gravitative Wechselwirkung anzunehmen.
5. **Natürliche Erklärung kosmologischer Phänomene:** Das T0-Modell bietet natürliche Erklärungen für Phänomene wie Rotverschiebung, kosmische Expansion und dunkle Energie, ohne Ad-hoc-Annahmen wie Inflation oder dunkle Materie zu erfordern.

Zukünftige Forschungsrichtungen könnten umfassen:

- **Experimentelle Tests der wellenlängenabhängigen Rotverschiebung:** $z(\lambda) = z_0(1 + \ln(\lambda/\lambda_0))$, was einen direkten Test des Parameters $\beta_{\text{T}} = 1$ ermöglichen würde.
- **Präzisionsmessungen atomarer Energieniveaus:** Die Neuinterpretation der Rydberg-Konstanten als $R_\infty = 1/2$ in natürlichen Einheiten könnte zu neuen experimentellen Tests führen.

- **Quantenfeldtheoretische Entwicklung des T0-Modells:** Die vollständige Quantisierung des intrinsischen Zeitfeldes $T(x)$ und seine Einbettung in einen quantenfeldtheoretischen Rahmen bleibt eine bedeutende Herausforderung.
- **Numerische Simulationen der kosmologischen Evolution:** Unter Verwendung des modifizierten Gravitationspotentials $\Phi(r) = -\frac{M}{r} + r$ könnten Computersimulationen der Galaxiendynamik durchgeführt werden, um Vorhersagen des T0-Modells mit astronomischen Beobachtungen zu vergleichen.

Das vereinheitlichte System natürlicher Einheiten des T0-Modells mit Energie als fundamentaler Einheit bietet einen vielversprechenden Ansatz zur Überwindung der Kluft zwischen Quantenmechanik und Relativitätstheorie und könnte zu einem tieferen Verständnis der fundamentalen Struktur des Universums führen [20].

Literatur

- [1] J. Pascher, [Zeit als emergente Eigenschaft in der Quantenmechanik: Eine Verbindung zwischen Relativität, Feinstrukturkonstante und Quantendynamik](#), 23. März 2025.
- [2] J. Pascher, [Kompensatorische und additive Effekte: Eine Analyse von Messdifferenzen zwischen dem T0-Modell und dem \$\Lambda\$ CDM-Standardmodell](#), 2. April 2025.
- [3] J. Pascher, [Massenvariation in Galaxien: Eine Analyse im T0-Modell mit emergenter Gravitation](#), 30. März 2025.
- [4] J. Pascher, [Zeit-Masse-Dualitätstheorie \(T0-Modell\): Ableitung der Parameter \$\kappa\$, \$\alpha\$ und \$\beta\$](#) , 30. März 2025.
- [5] J. Pascher, [Anpassung der Temperatureinheiten in natürlichen Einheiten und CMB-Messungen](#), 2. April 2025.
- [6] J. Pascher, [Energie als fundamentale Einheit: Natürliche Einheiten mit \$\alpha_{\text{EM}} = 1\$ im T0-Modell](#), 26. März 2025.
- [7] J. Pascher, [Dimensionslose Parameter im T0-Modell: Setzen von \$\beta = 1\$ in natürlichen Einheiten](#), 4. April 2025.
- [8] J. Pascher, [Mathematische Formulierung des Higgs-Mechanismus in der Zeit-Masse-Dualität](#), 28. März 2025.
- [9] J. Pascher, [Von Zeitdilatation zur Massenvariation: Mathematische Kernformulierungen der Zeit-Masse-Dualitätstheorie](#), 29. März 2025.
- [10] J. Pascher, [Emergente Gravitation im T0-Modell: Eine umfassende Ableitung](#), 1. April 2025.
- [11] J. Pascher, [Eine neue Perspektive auf Zeit und Raum: Johann Paschers revolutionäre Ideen](#), 25. März 2025.
- [12] J. Pascher, [Kurz gefasst - Komplementäre Dualität in der Physik: Vom Welle-Teilchen zum Zeit-Masse-Konzept](#), 26. März 2025.
- [13] J. Pascher, [Vereinfachte Beschreibung der fundamentalen Kräfte mit Zeit-Masse-Dualität](#), 27. März 2025.

- [14] J. Pascher, [Zeit und Masse: Ein neuer Blick auf alte Formeln – und Befreiung von traditionellen Zwängen](#), 22. März 2025.
- [15] J. Pascher, [Die Notwendigkeit einer Erweiterung der Standardquantenmechanik und Quantenfeldtheorie](#), 27. März 2025.
- [16] J. Pascher, [Dynamische Masse von Photonen und ihre Implikationen für Nichtlokalität im T0-Modell](#), 25. März 2025.
- [17] J. Pascher, [Vereinheitlichtes Einheitensystem im T0-Modell: Die Konsistenz von \$\alpha = 1\$ und \$\beta = 1\$](#) , 5. April 2025.
- [18] J. Pascher, [Reale Konsequenzen der Reformulierung von Zeit und Masse in der Physik: Jenseits der Planck-Skala](#), 24. März 2025.
- [19] J. Pascher, [Dunkle Energie im T0-Modell: Eine mathematische Analyse der Energiedynamik](#), 3. April 2025.
- [20] J. Pascher, [Vereinheitlichung des T0-Modells: Grundlagen, dunkle Energie und Galaxien-dynamik](#), 4. April 2025.
- [21] J. Pascher, [Von Zeitdilatation zur Massenvariation: Mathematische Kernformulierungen der Zeit-Masse-Dualitätstheorie](#), 5. April 2025.
- [22] M. Planck, *Über irreversible Strahlungsprozesse*, Sitzungsberichte der Königlich Preussischen Akademie der Wissenschaften zu Berlin 5, 440–480 (1899).
- [23] P. A. M. Dirac, *Die Quantentheorie des Elektrons*, Proceedings of the Royal Society of London A 117, 610–624 (1928).
- [24] A. Einstein, *Zur Elektrodynamik bewegter Körper*, Annalen der Physik 322, 891–921 (1905).
- [25] A. Einstein, *Die Feldgleichungen der Gravitation*, Sitzungsberichte der Königlich Preussischen Akademie der Wissenschaften, 844–847 (1915).
- [26] A. Sommerfeld, *Zur Quantentheorie der Spektrallinien*, Annalen der Physik 356, 1–94 (1916).
- [27] W. Heisenberg, *Über den anschaulichen Inhalt der quantentheoretischen Kinematik und Mechanik*, Zeitschrift für Physik 43, 172–198 (1927).
- [28] E. Schrödinger, *Quantisierung als Eigenwertproblem*, Annalen der Physik 384, 361–376 (1926).
- [29] R. P. Feynman, *QED: Die seltsame Theorie des Lichts und der Materie*, Princeton University Press (1985).
- [30] M. J. Duff, L. B. Okun & G. Veneziano, *Dialog über die Anzahl fundamentaler Konstanten*, Journal of High Energy Physics 3, 023 (2002).
- [31] F. Wilczek, *Die Leichtigkeit des Seins: Masse, Äther und die Vereinheitlichung der Kräfte*, Basic Books (2008).
- [32] E. Verlinde, *Über den Ursprung der Gravitation und die Gesetze Newtons*, Journal of High Energy Physics 4, 29 (2011).

- [33] B. Greene, *Bis zum Ende der Zeit: Geist, Materie und unsere Suche nach Sinn in einem sich entwickelnden Universum*, Alfred A. Knopf (2020).
- [34] G. 't Hooft, *Dimensionale Reduktion in der Quantengravitation*, arXiv:gr-qc/9310026 (1993).
- [35] C. M. Will, *Die Konfrontation zwischen allgemeiner Relativitätstheorie und Experiment*, Living Reviews in Relativity 17, 4 (2014).